

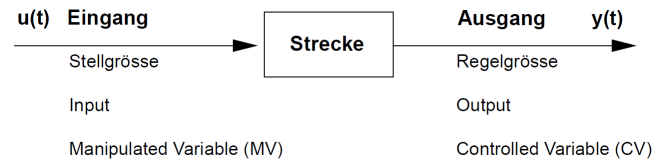
Regelsysteme Zusammenfassung

Andreas Biri, D-ITET

29.01.15

1. Einführung

Strecke / "process": Maschine + Actuator + Sensors

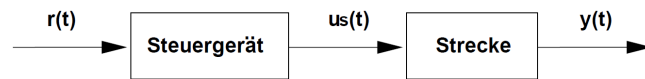


SISO: Single Input / Single Output

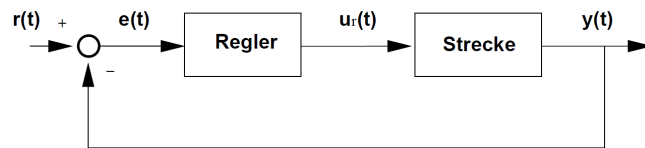
MIMO: Multiple Input / Multiple Output

Benötige für Steuerung gleich viele Inputs/Freiheitsgrade wie Outputs, um sie unabhängig steuern zu können

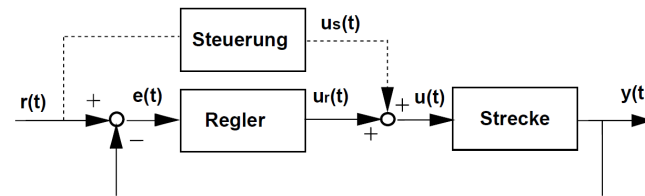
Steuerung: Ausgang unabhängig von aktuellem Output



Reglung (Feedback Control): Rückführung des Istwerts
Kompensation v. Unsicherheiten, bleibende Regelabweichung



Kombination Regelung & Steuerung



Steuerung: Open Loop, für schnelle & einfache Annäherung

Reglung: Closed Loop, Feineinstellung durch Rückkopplung

2. Modellierung dynam. Systeme

- *fundamental model:* basiert auf physikalischen Gesetzen

- *black box model:* Anpassen an experimentelle Daten

2.1 Mechanische Systeme

$$m \cdot \ddot{x} = \sum_i F_i$$

Reibung / Dämpfung: $F = b \cdot \dot{x}$

Feder: $F = k \cdot x$

Gravitation: $F = -m \cdot g$

$$I \cdot \ddot{\theta} = F \cdot d + M_D$$

I : Trägheitsmoment, M_D : Störmoment

Für Pendel: $I = m \cdot l^2, \omega = \sqrt{g/l}$

2.2 Elektrische Systeme

Capacitor: $i_C(t) = C \frac{d}{dt} u_C(t)$

Inductor: $u_L(t) = L \frac{d}{dt} i_L(t)$

Resistance: $u_R(t) = R \cdot i_R(t)$

2.3 & 2.4 : Komplexere Systeme

Stelle Gleichungen für mechanischen & elektrischen Teil separat auf und löse Gleichungssystem

Akkumulation = Zufuhr - Abfuhr

Bernoulli-Gleichung für Flüssigkeiten (2 - 22)

$$\frac{1}{2} \rho v^2 + p + \rho g h = \text{const.}$$

2.5 Linearisierung

$$f(x) \approx f(\bar{x}) + \left. \frac{df}{dx} \right|_{x=\bar{x}} (x - \bar{x})$$

$$J = \frac{df}{dx^T} = \begin{pmatrix} \frac{df_1}{dx_1} & \dots & \frac{df_1}{dx_n} \\ \vdots & \ddots & \vdots \\ \frac{df_n}{dx_1} & \dots & \frac{df_n}{dx_n} \end{pmatrix}$$

Linearisierung um einen stationären Betriebspunkt

$$\Delta \dot{x} = \left. \frac{df}{dx^T} \right|_{x=x_s, u=u_s} (x - x_s) + \left. \frac{df}{du^T} \right|_{x=x_s, u=u_s} (u - u_s) = F \Delta x + G \Delta u$$

$$\Delta y = \left. \frac{dg}{dx^T} \right|_{x=x_s, u=u_s} (x - x_s) + \left. \frac{dg}{du^T} \right|_{x=x_s, u=u_s} (u - u_s) = H \Delta x + J \Delta u$$

2.6 Zustandsraumdarstellung / Lösen v. DGS

$$\dot{x} = f(x, u) = Fx + Gu, \quad \dot{y} = g(x, u) = Hx + Ju$$

$$x(t) = e^{F(t-t_0)} x(t_0) + \int_{t_0}^t e^{F(t-\tau)} G u(\tau) d\tau$$

$$e^{Ft} = I + Ft + \frac{F^2 t^2}{2!} + \dots, \quad \frac{d}{dt} e^{Ft} = F \cdot e^{Ft}$$

Schreibe Ableitungen von Variablen als neuen Zustand

$$x, \dot{x}, \ddot{x} \rightarrow x_1 = x, x_2 = \dot{x}, x_3 = \ddot{x}$$

3. Dynamisches System-Verhalten

Faltung mit Systemantwort

$$y(t) = \int_{-\infty}^{\infty} u(\tau)g(t-\tau) d\tau$$

Wenn System *kausal* (d.h. $g(t) = 0 \forall t < 0$)

$$y(t) = \int_0^t u(\tau)g(t-\tau) d\tau, \quad u(t) = 0 \forall t < 0$$

3.2 Laplace Transformation

$$F(s) = \int_{0-}^{\infty} f(t) e^{-st} dt$$

$$f(t) = \frac{1}{2\pi i} \int_{\sigma_c + i\omega}^{\sigma_c - i\omega} F(s) e^{st} ds$$

$F(s)$	$f(t) \quad (t \geq 0)$	$F(s)$	$f(t) \quad (t \geq 0)$
$\frac{1}{s}$	$\delta(t)$	$\frac{a}{s(s+a)}$	$1 - e^{-at}$
$\frac{1}{s^2}$	t	$\frac{s^2(s+a)}{(s+a)^2}$	$\frac{1}{a}(at - 1 + e^{-at})$
$\frac{1}{s^3}$	t^2	$\frac{b-a}{(s+a)(s+b)}$	$e^{-at} - e^{-bt}$
$\frac{1}{s^4}$	t^3	$\frac{s}{(s+a)^2}$	$(1-at)e^{-at}$
$\frac{1}{s^{m+1}}$	t^m	$\frac{a^2}{s(s+a)}$	$1 - e^{-at}(1+at)$
$\frac{1}{s+a}$	e^{-at}	$\frac{(b-a)s}{(s+a)(s+b)}$	$be^{-bt} - ae^{-at}$
$\frac{1}{(s+a)^2}$	$t e^{-at}$	$\frac{s^2+a^2}{s^2+a^2}$	$\sin(at)$
$\frac{1}{(s+a)^3}$	$\frac{1}{2!} t^2 e^{-at}$	$\frac{s}{s^2+a^2}$	$\cos(at)$
$\frac{1}{(s+a)^m}$	$\frac{1}{(m-1)!} t^{m-1} e^{-at}$	$\frac{s+a}{s^2+a^2}$	$e^{-at} \cos(bt)$
		$\frac{a^2+b^2}{(s+a)^2+b^2}$	$e^{-at} \sin(bt)$
		$\frac{1}{s((s+a)^2+b^2)}$	$1 - e^{-at}(\cos(bt) + \frac{a}{b} \sin(bt))$

$F(s)$	$f(t)$	Bemerkung
$\alpha F_1(s) + \beta F_2(s)$	$\alpha f_1(t) + \beta f_2(t)$	Superposition
$\frac{1}{ a } F\left(\frac{s}{a}\right)$	$f(at)$	Ähnlichkeitssatz
$F(s)e^{-s\lambda}$	$f(t-\lambda)$	Verschiebungssatz
$F(s+a)$	$e^{-at}f(t)$	Dämpfungssatz
$s^m F(s) - s^{m-1}f(0)$	$f^{(m)}(t)$	Differentiationssatz
$-s^{m-2}f'(0) - \dots - f^{(m-1)}(0)$		
$\frac{1}{s} F(s)$	$\int_0^t f(\zeta) d\zeta$	Integrationssatz
$-\frac{d}{ds} F(s)$	$tf(t)$	Produkt mit der Zeit
$\lim_{s \rightarrow \infty} sF(s)$	$f(0^+)$	Satz vom Anfangswert
$\lim_{s \rightarrow 0} sF(s)$	$\lim_{t \rightarrow \infty} f(t)$	Satz vom Endwert
$F_1(s)F_2(s)$	$f_1(t) \star f_2(t)$	Faltungssatz
$\frac{1}{2\pi j} \int_{\sigma_c - j\infty}^{\sigma_c + j\infty} F_1(\zeta)F_2(s-\zeta) d\zeta$	$f_1(t)f_2(t)$	Produkt im Zeitbereich
$\frac{1}{2\pi j} \int_{-j\infty}^{+j\infty} Y(-j\omega)U(j\omega) d\omega$	$\int_0^\infty y(t)u(t) dt$	Parsevals Theorem

Endwertsatz / Anfangswertsatz

$$\lim_{s \rightarrow 0} s F(s) = f(0^+), \quad \lim_{s \rightarrow 0} F(s) = \lim_{t \rightarrow \infty} f(t)$$

Anwendbarkeit d. Endwertsatzes, falls folgendes erfüllt:

- Maximal ein Pol im Ursprung
- Realteil der (restlichen) Pole ist negativ

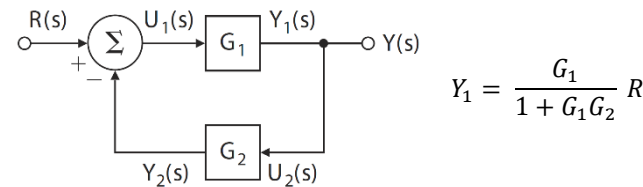
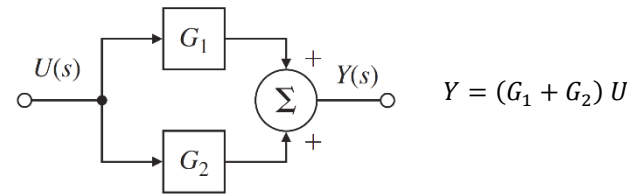
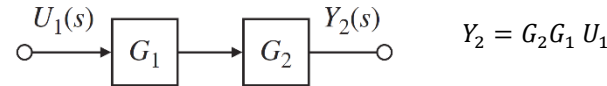
Partialbruchzerlegung: 3-17

mehrfache Pole: Koeffizienten durch Ableiten berechnen

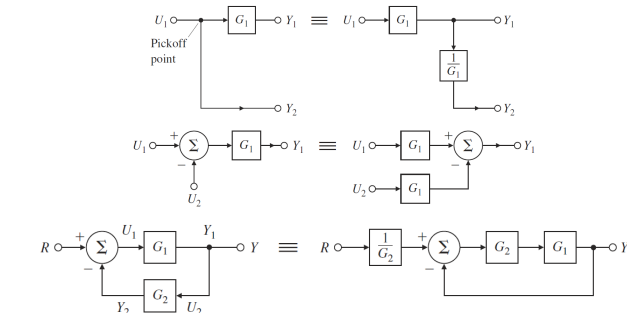
komplexe Pole: konjugiert komplexe Paare bilden

3.3 Blockdiagramme

$$Y(s) = G(s) U(s)$$



Umformungsregeln



3.4 Systemantworten

System 1. Ordnung (PT1 Glied) 3-32

$$Y(s) = \frac{k}{\tau s + 1} U(s), \quad y(t) = \frac{k}{\tau} e^{-\frac{t}{\tau}}$$

k : Verstärkungsfaktor (*gain*)

τ : Zeitkonstante (*time constant*)

System 2. Ordnung (PT2 Glied) 3-35

$$Y(s) = \frac{k}{\tau^2 s^2 + 2\zeta\tau s + 1} U(s) = \frac{k\omega_n^2}{s^2 + 2\zeta\omega_n s + \omega_n^2} U(s)$$

k : Verstärkungsfaktor (*gain*)

$\tau = 1/\omega_n$: Zeitkonstante (*time constant*)

ζ : Dämpfungsfaktor (*damping factor*)

$\omega_n = 1/\tau$: Natürliche Frequenz (*natural frequency*)

Charakteristische Gleichung: $\tau^2 s^2 + 2\zeta\tau s + 1 = 0$

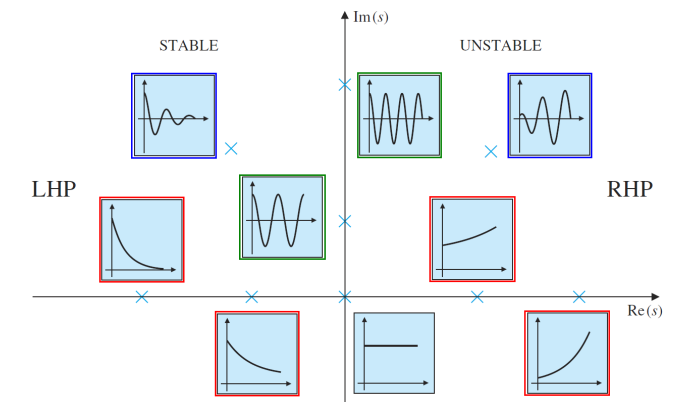
$$s_{1,2} = -\frac{1}{\tau} \left(\zeta \pm \sqrt{\zeta^2 - 1} \right) = -\omega_n \left(\zeta \pm \sqrt{\zeta^2 - 1} \right)$$

$0 < \zeta < 1$: Komplexe Wurzeln - gedämpft

$\zeta = 1$: Doppelte Wurzel – kritisch gedämpft

$\zeta > 1$: Reelle Wurzeln – überkritisch gedämpft

Impulsantworten in Abhängigkeit der Lage der Pole



Beziehung zw. Frequenz, Dämpfung u. Polstellen

$$y(t) = 1 - \frac{1}{\sqrt{1-\zeta^2}} e^{-\frac{\zeta}{\tau} t} \sin\left(\sqrt{1-\zeta^2} \frac{t}{\tau} + \tan^{-1} \frac{\sqrt{1-\zeta^2}}{\zeta}\right)$$

$$s_{1,2} = -\omega_n \zeta \pm j \omega_n \sqrt{1-\zeta^2} = -\sigma \pm j \omega_d$$

$$\sigma = \omega_n \zeta, \quad \sin \theta = \frac{\sigma}{\omega_n} = \zeta, \quad \omega_d = \omega_n \sqrt{1-\zeta^2}$$

$$\operatorname{Re}\{s_{1,2}\} = \sigma, \quad |s_{1,2}| = \omega_n, \quad \sin \theta = \frac{\operatorname{Re}\{s_{1,2}\}}{|s_{1,2}|}$$

Spezifikationen im Zeitbereich 3-42

Anstiegszeit (rise time): $t_r = \frac{1.8}{\omega_n}$

Anregelzeit (peak time): $t_p = \frac{\pi}{\omega_n \sqrt{1-\zeta^2}}$

Überschwingen (overshoot): $M_p = e^{-\frac{\pi \zeta}{\sqrt{1-\zeta^2}}}$

Ausregelzeit (settling time): $t_s = \frac{4.6}{\zeta \omega_n} = \frac{4.6}{\sigma}$

Effekte zusätzlicher Pole/Nullstellen 3-44

Zus. NS in LHE : verstärkt Überschwingen

Zus. NS in RHE : unterdrückt Überschwingen
kann zu Unterschwingung führen

Zus. PS : verlängert Anstiegszeit

3.5 Stabilität

Asymptotisch stabil: alle internen Zustandsvariablen werden nie unendlich und gehen gegen Null mit $t \rightarrow \infty$.

Asymptotisch intern stabil genau dann, wenn **alle Pole des Systems in der offenen linken Halbebene (LHE)** liegen.

4. Systeme im Frequenzbereich

4.1 Frequenzgang

Eingangssignal: $\cos(\omega t) = \operatorname{Re}\{e^{i\omega t}\}$

Systemantwort: $y(t) = \operatorname{Re}\left\{\int_0^t g(t-\tau) e^{i\omega\tau} d\tau\right\}$

$$= \frac{|G(i\omega)|}{\text{Amplitude Ratio}} \cos\left(\omega t + \tan^{-1} \frac{\operatorname{Im}(G(i\omega))}{\operatorname{Re}(G(i\omega))}\right)$$

Phase ϕ

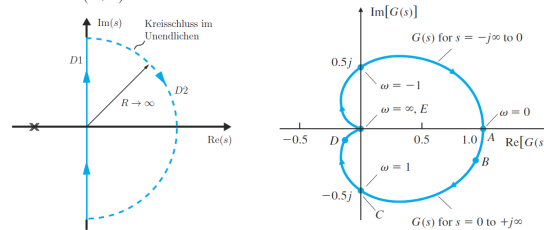
4.2 Nyquist-Diagramm

Real- & Imaginärteil der Übertragungsfunktion aufzeichnen

Wichtige Punkte ($\omega = 0, \omega = \pm i, \omega \rightarrow \infty$) markieren

Kreisschluss $\lim_{R \rightarrow \infty} G(s = Re^{i\theta})$ eventuell aus Bode-Plot

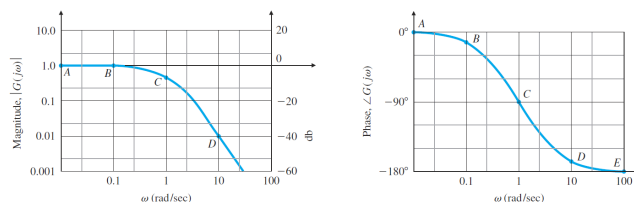
Beispiel: $G(s) = \frac{1}{(s+1)^2}$:



Nyquist-Diagramm ist symmetrisch bzgl. d. reellen Achse

Falls **Zählergrad < Nennergrad** : Kreisschluss im Unendlichen wird auf den Ursprung abgebildet

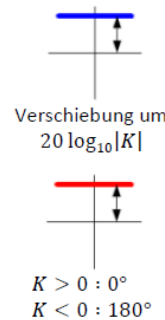
Bode: Betrag- und Phasengang separat auftragen



4.3 Bode-Diagramm 4-8 ... 4-15

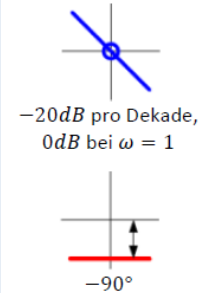
Proportional

$$G(s) = K$$



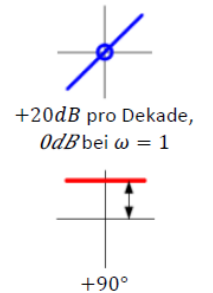
Integrator

$$G(s) = 1/s$$

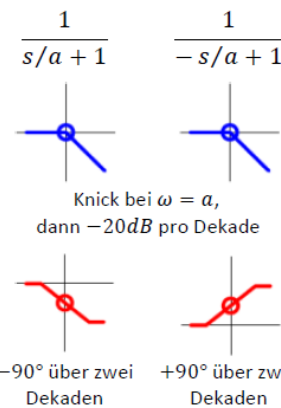


Differenziator

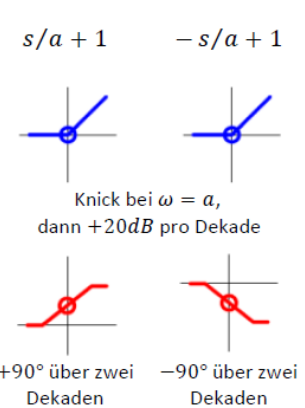
$$G(s) = s$$



Pole $a > 0$



Nullstelle $a > 0$



4.4 Nichtminimalphasige Systeme

minimalphasig: System G und Inverse G^{-1} **stabil & kausal**

1) Stabilität: Nullstellen und Polstellen in LHE

2) Kausalität: $g(t) = g_{inv}(t) = 0 \quad \forall t < 0$

Ausgänge nur v. aktuellem u. vergangenem Eingang abhängig

Nichtminimalphasige Systeme: Systeme mit **Totzeit**

$$G_D(s) = e^{-sT}, \quad \angle G_D(j\omega) = -\omega T$$

5. Regelkreis – Rückführung & PID

5.1 Stationäres Verhalten

$$Y(s) = \frac{A}{(\tau_1 s + 1)(\tau_2 s + 1)} V_a(s) + \frac{B}{(\tau_1 s + 1)(\tau_2 s + 1)} W(s)$$

Steuerung mit $w = 0$: $v_a = Kr$

Wähle $K = \frac{1}{A}$; für $t \rightarrow \infty$ $y_{ss} = A v_a = r$

Reglung mit $w = 0$: $v_a = K(r - y) = K e$

Proportionalregler: $Y(s) = \frac{AK R(s) + B W(s)}{(\tau_1 s + 1)(\tau_2 s + 1) + AK}$

Für $t \rightarrow \infty, w = 0$: $y_{ss} = \frac{AK}{1 + AK} r \approx r$

Steuerung mit $w \neq 0$:

$$y_{ss} = AKr + Bw = r + Bw, \quad \delta y = y_{ss} - r = Bw$$

Reglung mit $w \neq 0$:

$$y_{ss} = \frac{AK}{1 + AK} r + \frac{B}{1 + AK} w \approx r$$

Reglung reduziert Auswirkung d. Störung um Faktor $1 + AK$,
Steuerung hat keinen Einfluss auf Störgrößenverhalten

5.2 Sensitivität

Annahme: Änderung der Verstärkung von A auf $A + \delta A$

$$S_A^T = \frac{\delta T}{T} / \frac{\delta A}{A} \approx \frac{A}{T} \frac{dT}{dA}$$

Steuerung: $S_A^{Tot} = 1$, Regelung: $S_A^{Tcl} = \frac{1}{1 + AK}$

Reglung reduziert Auswirkung v. Änderungen im
Verstärkungsfaktor um einen Faktor $1 + AK$

Dynamischer Fall mit Messrauschen: 5-8

5.3 Dynamisches Verhalten

Statisches K verändert Dynamik der Steuerung nicht

Statisches K verändert Dynamik der Regelung

$$Y(s) = \frac{AK R(s) + B W(s)}{(\tau_1 s + 1)(\tau_2 s + 1) + AK}$$

$$s_{1,2} = \frac{-(\tau_1 + \tau_2) \pm \sqrt{(\tau_1 + \tau_2)^2 - 4\tau_1\tau_2(1 + AK)}}{2\tau_1\tau_2}$$

$0 < K < \frac{(\tau_1 - \tau_2)^2}{4\tau_1\tau_2 A}$: kürzere Anstieg- & kürzere Ausregelzeit

$K > \frac{(\tau_1 - \tau_2)^2}{4\tau_1\tau_2 A}$: kürzere Anstiegszeit, schlechtere Dämpfung

\Rightarrow kleinerer stationärer Fehler, schlechteres Verhalten

5.4 Klassischer PID-Regler

Proportional-Integral-(PI)-Regler T_I Nachstellzeit

$$u(t) = K \left[e + \frac{1}{T_I} \int_{t_0}^t e(\eta) d\eta \right]$$

$$D(s) = K \left(1 + \frac{1}{T_I s} \right)$$

Regler mit I-Anteil ist bleibender Regelfehler immer Null.

Proportional-Differential-(PD)-Regler T_D Vorhaltezeit

$$u = K(e + T_D \dot{e})$$

$$D(s) = K(1 + T_D s)$$

Rasche Veränderungen führen zu grossen Ausschlägen
(empfindlich auf Messrauschen, regle nur Sollwert)

Proportional-Integral-Differential-(PID)-Regler

$$u(t) = K \left(e + \frac{1}{T_I} \int_{t_0}^t e(\eta) d\eta + T_D \dot{e} \right)$$

$$D(s) = K \left(1 + \frac{1}{T_I s} + T_D s \right)$$

6. Stabilität

Asymptotisch intern stabil genau dann, wenn alle Pole des Systems in der offenen linken Halbebene (LHE) liegen.

Grenzstabil: Ein Pol im Ursprung / Paar auf imag. Achse

6.1 Stabilitätskriterium v. Routh / Hurwitz

Charakteristisches Polynom (normiert, s.d. $a_0 = 1$):

$$a(s) = s^n + a_1 s^{n-1} + a_2 s^{n-2} + \dots + a_{n-1} s + a_n$$

Notwendige Bedingung für Stabilität: $a_i > 0$

Routh-Tableau: 6-4

Row n	s^n :	1	a_2	a_4	...
Row $n-1$	s^{n-1} :	a_1	a_3	a_5	...
Row $n-2$	s^{n-2} :	b_1	b_2	b_3	...
Row $n-3$	s^{n-3} :	c_1	c_2	c_3	...
\vdots	\vdots	\vdots	\vdots	\vdots	
Row 2	s^2 :	*	*		
Row 1	s^1 :	*			
Row 0	s^0 :	*			

$$b_k = -\frac{1}{a_1} \det \begin{bmatrix} 1 & a_{2k} \\ a_1 & a_{2k+1} \end{bmatrix}, \quad c_k = -\frac{1}{b_1} \det \begin{bmatrix} a_1 & a_{2k+1} \\ b_1 & a_{2k} \end{bmatrix}$$

Falls erstes Element 0, ersetze durch ϵ_+ u. werte als $\epsilon_+ \rightarrow 0+$
Nullzeile \rightarrow ersetze Zeile mit Ableitung d. darüber liegenden Zeile

Routh's Stabilitätskriterium

- Alle Wurzeln nur dann in offener LHE, wenn alle Elemente der ersten Kolonne positiv sind
- Anzahl Wurzeln in offener RHE ist gleich der Anzahl von Vorzeichenänderungen in der ersten Kolonne

Bedingungen für Stabilität: Gleichungen mit unbekannten
Aufstellen, jedes Element d. ersten Kolonne muss positiv
sein \rightarrow mögliche Bereiche in der Ebene zeichnen

6.2 Nyquist-Stabilitätskriterium

Prinzip des Arguments

Geschlossene Kurve C, wird im Uhrzeigersinn umfahren

Abbildung von C umkreist genau $N = Z - P$ mal Ursprung

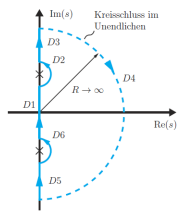
Z: Pole d. geschlossenen Kreises $\frac{KG(s)}{1+KG(s)}$ innerhalb C

P: Pole d. offenen Kreises $KG(s)$ innerhalb C

Wahl der D-Kurve: Pole auf imag. Achse umfahren

Nyquist D-Kurve:

Es sei:



Γ_F = Abbildung von D unter Rückföhrdifferenzfunktion $F(s) = 1 + KG(s)$

Z = Anzahl Nullstellen von $F(s)$ in RHE
= Anzahl Pole des geschlossenen Kreises in RHE

P = Anzahl Pole der offenen Strecke $G(s)$ in offener RHE
⇒ bekannt

N = Gesamte Anzahl der Umkreisungen des Ursprungs im Uhrzeigersinn durch Γ_F
⇒ aus Nyquist-Diagramm (Umkreisungen gegen den Uhrzeigersinn werden negativ gezählt)

Der geschlossene Kreis ist stabil dann und nur dann wenn
 $Z = 0$ oder $N = -P$

⇒ Keine Pole in RHE: $Z = \#PS = 0 \Leftrightarrow N = -\#NS$

Variante 1: $F(s) = 1 + KG(s) \rightarrow KG(s) = F(s) - 1$

⇒ Zähle Umkreisungen von -1 durch $KG(s)$

Variante 2: $\frac{F(s)}{K} = \frac{1}{K} + G(s) \rightarrow G(s) = \frac{F(s)}{K} - \frac{1}{K}$

⇒ Zähle Umkreisungen von $-1/K$ durch $G(s)$

⇒ Für Stabilität darf $-1/K$ nicht umkreist

-1/K entweder links od. rechts d. Schnittpunkte des Bode-Plots mit der reellen Achse

Umdrehungen im Gegenuhrzeigersinn negativ zählen

Polstelle im Ursprung: 6-26, Kreis in RHE um Ursprung

$$\epsilon * e^{i\theta}, \quad \epsilon \rightarrow 0, -90^\circ \leq \theta \leq 90^\circ$$

Mehrfache Polstelle im Ursprung: 6-33

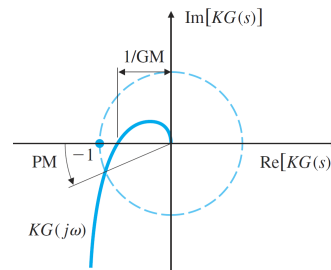
6.3 Bode-Stabilitätskriterium

Sei offener Regelkreis stabil, Amplitude und Phase *stetig* abnehmend. Geschlossener Regelkreis stabil iff

$$|KG(i\omega)| < 1 \quad \text{wo} \quad \angle G(i\omega) = -180^\circ$$

Small Gain Theorem: stabil, wenn $|KG(i\omega)| < 1 \quad \forall \omega$

Amplituden- & Phasenreserve (GM & PM)



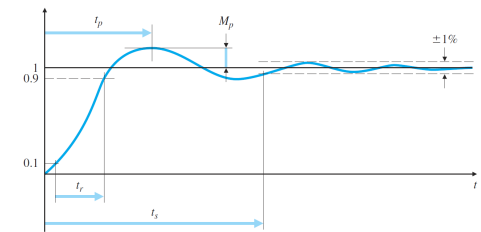
Gain Margin (GM): Faktor, um den der Betrag $|KG(i\omega_u)|$ kleiner ist als 1, wenn $\angle G(i\omega_u) = -180^\circ$

Phase Margin (PM): Betrag, um den die Phase grösser ist als -180° , wenn $|KG(i\omega_c)| = 1$

GM und PM sind nur für open-loop stabile Systeme definiert und sind ein Mass für die Stabilität des Systems

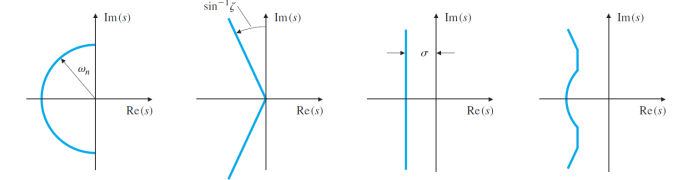
7. Reglerentwurf im Zeitbereich

7.1 Spezifikationen im Zeitbereich 7-4



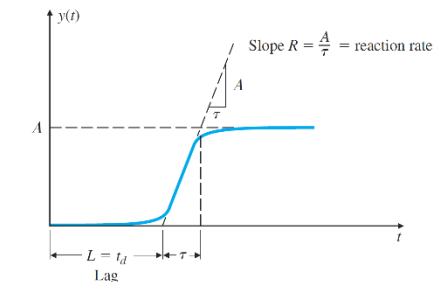
$$\text{Anstiegszeit: } t_r = \frac{1.8}{\omega_n}, \quad \text{Anregelzeit: } t_p = \frac{\pi}{\omega_n \sqrt{1-\zeta^2}}$$

$$\text{Überschwingen: } M_p = e^{-\frac{\pi\zeta}{\sqrt{1-\zeta^2}}}, \quad \text{Ausregelzeit: } t_s = \frac{4.6}{\sigma}$$



7.2 Reglerentwurf nach Ziegler-Nichols (Z&N)

Viele Prozesse haben eine Sprungantwort der Form



$$\frac{Y(s)}{U(s)} = \frac{A e^{-t_d s}}{\tau s + 1}$$

Ziel: $\text{decay ration} = 0.25 \Leftrightarrow \zeta = 0.21$

Optimale Regler-Parameter

Proportional $K = 1/(RL)$

PI $K = 0.9/(RL), T_I = L/0.3$

PID $K = 1.2/(RL), T_I = 2L, T_D = 0.5 L$

Schwingmethode 7-8

Beim Regelkreis mit P-Regler wird Verstärkung so lange erhöht, bis Stabilitätsgrenze erreicht wird bei K_u

⇒ regelmässige Schwingung, Phase: -180°

K_u : ultimate gain , P_u : ultimate period

Optimale Regler-Parameter

Proportional $K = 0.5 K_u$

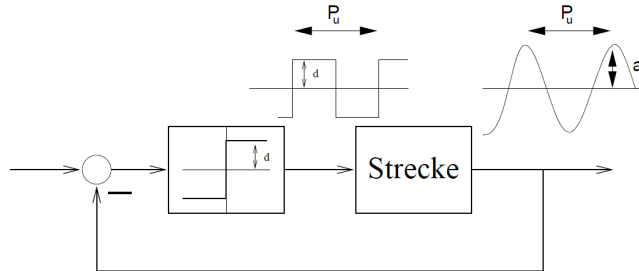
PI $K = 0.45 K_u, T_I = (1/1.2) P_u$

PID $K = 0.6 K_u, T_I = 1/2 P_u, T_D = 1/8 P_u$

7.3 Methode von Åström & Hagglund 7-11

2-Punkt Regler (Relais) startet Oszillation mit Amplitude d , Ausgang beginnt zu schwingen mit Amplitude a

$$K_u \approx \frac{4d}{\pi a}, \quad \text{sodass } K_u * AR \approx 1$$



8. Regelentwurf im Frequ.bereich

8.2 GM & PM als Entwurfskriterien

Annahme: System verhält sich wie System 2. Ordnung

$$\zeta \approx \frac{PM}{100} \quad (PM < 70^\circ) \rightarrow M_p = \exp \left[-\frac{\pi \zeta}{\sqrt{1 - \zeta^2}} \right]$$

Tracking Offset: je höher die Magnitude bei $\omega = 0$, desto geringer ist bleibende Regelabweichung auf Schritt/Rampe

Reaktionsgeschwindigkeit: Anstiegs-, Anregel- und Ausregelzeit sind positiv korreliert mit der Bandbreite

8.3 Betrag/Phase Gesetz nach Bode

Für ein stabiles, minimalphasiges System gilt:

$$\angle G(i\omega) = f(|G(i\omega)|)$$

Spezialfall: Falls Steigung von $|G(i\omega)|$ konstant (n) über etwa eine Dekade, dann

$$\angle G(i\omega) \approx n * 90^\circ$$

8.4 Dynamische Kompensatoren

PD-Kompensation 8-13

$$D(s) = K(T_D s + 1)$$

- bietet Phasenvoreilung

- Wähle $\frac{1}{T_D} \approx \omega_c$, um PM zu verbessern

Nachteile:

- Verstärkung von Messrauschen für hohe Frequenzen

- idealer Differentiator nicht realisierbar

⇒ Lead-Kompensator als Alternative

Lead-Kompensation 8-14

erhöht Phasenreserve PR u. verringert Überschwingen

$$D(s) = K \frac{T s + 1}{\alpha T s + 1}, \quad \alpha < 1$$

Maximale Phasenhebung: $\varphi_{max} = \arcsin \frac{1 - \alpha}{1 + \alpha}$

bei $\omega_{max} = \frac{1}{T \sqrt{\alpha}}$ (platziere nahe bei Durchtrittsfreq. ω_c)

Vorgehen

1. Wähle K gross genug entsprechend Spezifikationen
2. Ermittle unkomp. PR_{ist} d. offenen Strecke $KG(s)$
3. Berechne notwend. PR_{soll} d. offenen Strecke $D(s)G(s)$
4. $\varphi_{max} = PR_{soll} - PR_{ist} \rightarrow \alpha = \frac{1 - \sin \varphi_{max}}{1 + \sin \varphi_{max}}$
5. Wähle $T \in \left[\frac{1}{\omega_c}, \frac{1}{\alpha \omega_c} \right] \rightarrow T = \frac{1}{\sqrt{\alpha} \omega_c}$

PI-Kompensation 8-20

$$D(s) = K \left(1 + \frac{1}{T_I s} \right)$$

- reduziere Regelabw. durch Verstärkung kleiner Frequ.

⇒ Lag-Kompensator als Alternative

Lag-Kompensator 8-21

Verbesserung der bleibenden Regelabweichung

$$D(s) = \beta \frac{T s + 1}{\beta T s + 1}, \quad \beta > 1$$

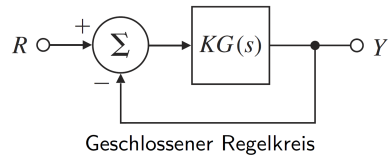
Wähle $\beta = \frac{K_{soll}}{K_{ist} G(0)}$; $T : \frac{1}{T} \leq \frac{\omega_c}{10}$

PID-Kompensation 8-25

$$D(s) = \frac{K}{s} \left[(T_D s + 1) \left(s + \frac{1}{T_I} \right) \right]$$

9. Erweiterung d. Reglerstruktur

9.1 Closed loop: Regelgüte über Bandbreite



$$\frac{Y}{R} = T = \frac{KG(s)}{1 + KG(s)}, \quad \frac{E}{R} = S = \frac{1}{1 + KG(s)}$$

Sensitivity : $S \approx 0$, Complimentary Sensitivity : $T \approx 1$

$$S + T = 1, \quad \omega_B < \omega_c < \omega_{BW}$$

9.2 Bandbreitenbeschränkung durch nichtminimalphasige Elemente

Totzeitglied: $e^{-s\lambda}$, λ : Totzeit

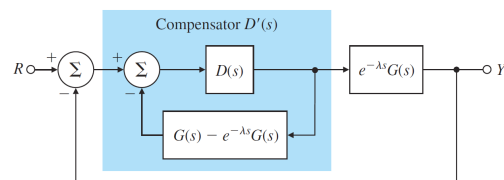
Für Systeme mit Totzeit λ ist erreichbare Bandbreite ω_B :

$$\omega_B < \omega_c \leq 4/\lambda$$

Für Systeme mit einer Nullstelle $\frac{1}{T}$ in der RHE gilt:

$$\omega_B \leq \omega_c \leq \frac{2}{T}$$

9.3 Totzeitkompensator



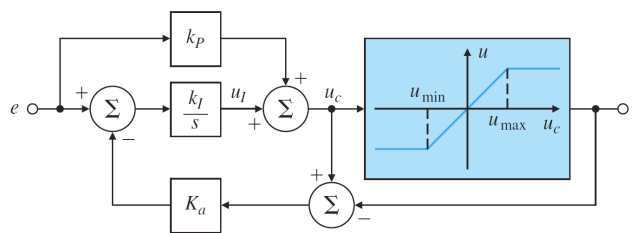
$$\frac{Y}{R} = \frac{D(s) G(s)}{1 + D(s) G(s)} e^{-\lambda s}$$

Totzeit immer noch präsent, erscheint jedoch nicht in der charakt. Gleichung $1 + D(s)G(s)$, d.h. nicht im Regelkreis

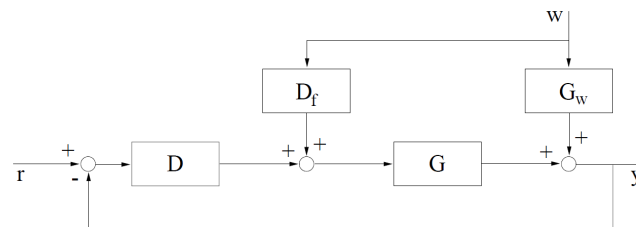
9.4 Antiwindup

Problem: Wenn u sättigt, kann u_c beliebig gross integriert werden

Lösung: Integrator abschalten, sobald u sättigt



9.5 Störgrössenaufschaltung (Feedforward Control)



Beginne bereits zu regeln, bevor Störung eintritt

Störgrössenaufschaltung D_f reagiert bereits vor Änderung

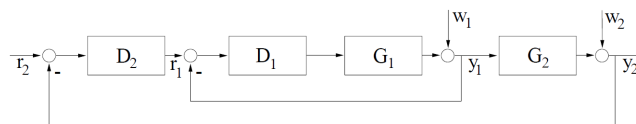
$$y = \frac{DG}{1 + DG} r + \frac{D_f G + G_w}{1 + DG} w \Rightarrow D_f = -\frac{G_w}{G}$$

Bedingungen: w muss gemessen werden können

G darf keine Nullstellen in RHE haben oder eine grössere Totzeit als G_w , da dann D_f nicht realisierbar und stabil

Beispiele zu Approximationen: 9-23

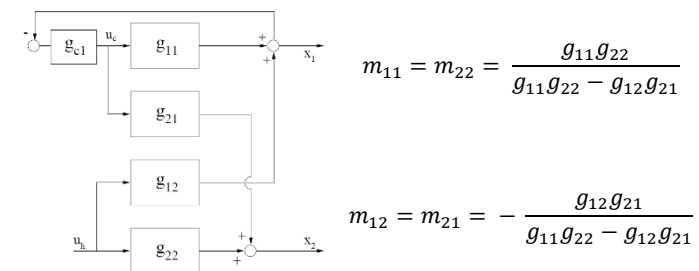
9.6 Kaskadenregelung



Störung wird schnell im inneren Regelkreis ausgeregelt, äusserer Regelkreis regelt y_2 mit Sollwert $y_1 \approx r_1$

10. Mehrvariablenregelung

10.4 Relative Gain Array als Kopplungsmass



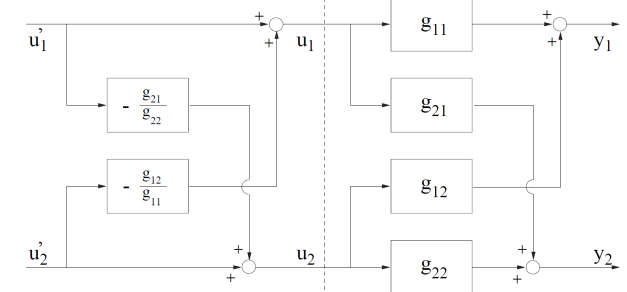
$$M = \begin{bmatrix} m_{11} & m_{12} \\ m_{21} & m_{22} \end{bmatrix} = (G^{-1})^T \times G$$

$$\text{wobei } \begin{bmatrix} x_1 \\ x_2 \end{bmatrix} = \begin{bmatrix} g_{11} & g_{12} \\ g_{21} & g_{22} \end{bmatrix} \begin{bmatrix} u_1 \\ u_2 \end{bmatrix} = G \begin{bmatrix} u_1 \\ u_2 \end{bmatrix}$$

$$\sum_i m_{ij} = \sum_j m_{ij} = 1 ; \quad x \text{ ist elementweise Multiplikation}$$

10.5 Entkopplungskompensator

Nach Entkoppl.kompensator Anwendung v. Einschleifenreglern



$$H = \begin{bmatrix} 1 & -g_{12}/g_{11} \\ -g_{21}/g_{22} & 1 \end{bmatrix} \quad G = \begin{bmatrix} g_{11} & g_{12} \\ g_{21} & g_{22} \end{bmatrix}$$

$$y = GHu' = \begin{bmatrix} g_{11} - g_{12}g_{21}/g_{22} & 0 \\ 0 & g_{22} - g_{12}g_{21}/g_{11} \end{bmatrix}$$

H nicht eindeutig bestimmt → wähle **realisierbar/kausal**

11. Zustandsraumdarstellung

11.1 Übergang zwischen Laplace- u. Zustandsraumdarstellung

Zustandsraum → Laplace

$$\dot{x} = Fx + Gu, \quad y = Hx + Ju$$

$$X = (sI - F)^{-1} G U, \quad Y = [H(sI - F)^{-1} G + J] U \\ \Rightarrow G(s) = H(sI - F)^{-1} G + J$$

Laplace → Zustandsraum

$$Y(s) = \frac{b_1 s^{n-1} + \dots + b_{n-1} s + b_n}{s^n + a_1 s^{n-1} + \dots + a_{n-1} s + a_n} U(s)$$

Reglungsnormalform 11-5, Blockdiagramm 11-7

$$\dot{x} = \begin{bmatrix} 0 & 1 & \dots & 0 \\ \vdots & \vdots & \ddots & \vdots \\ 0 & 0 & \dots & 1 \\ -a_n & -a_{n-1} & \dots & -a_1 \end{bmatrix} x + \begin{bmatrix} 0 \\ \vdots \\ 0 \\ 1 \end{bmatrix} u \\ y = [b_n \quad b_{n-1} \quad \dots \quad b_1] x$$

Beobachtungsnormalform 11-9, Blockdiagramm 11-11

$$\dot{x} = \begin{bmatrix} 0 & \dots & \dots & -a_n \\ 1 & \dots & 0 & -a_{n-1} \\ \vdots & \ddots & \vdots & \vdots \\ 0 & \dots & 1 & -a_1 \end{bmatrix} x + \begin{bmatrix} b_n \\ b_{n-1} \\ \vdots \\ b_1 \end{bmatrix} u \\ y = [0 \quad \dots \quad 0 \quad 1] x$$

Modalform 11-12, Blockdiagramm 11-14

$$g(s) = \frac{c_1}{s - \lambda_1} + \frac{c_2}{s - \lambda_2} + \dots \\ \dot{x} = \begin{bmatrix} \lambda_1 & 0 & \dots & 0 \\ 0 & \lambda_2 & \dots & 0 \\ \vdots & \vdots & \ddots & \vdots \\ 0 & 0 & \dots & \lambda_n \end{bmatrix} x + \begin{bmatrix} 1 \\ 1 \\ \vdots \\ 1 \end{bmatrix} u \\ y = [c_1 \quad c_2 \quad \dots \quad c_n] x$$

Jordansche Normalform: 11-15

Komplexe Pole: Betrachte Polpaar als System 2. Ordnung und stelle es in Reglungsnormalform dar

Mehrfache Pole: für jeden mehrfachen Pol Jordanblock

$$\frac{d}{(s - \lambda)^n} = \frac{c_1}{(s - \lambda)^1} + \frac{c_2}{(s - \lambda)^2} + \dots + \frac{c_n}{(s - \lambda)^n} \\ \dot{x} = \begin{bmatrix} \lambda & 1 & \dots & 0 & 0 \\ 0 & \lambda & \dots & 0 & 0 \\ \vdots & \vdots & \ddots & \vdots & \vdots \\ 0 & 0 & \dots & \lambda & 1 \\ 0 & 0 & \dots & 0 & \lambda \end{bmatrix} x + \begin{bmatrix} 0 \\ 0 \\ \vdots \\ 0 \\ 1 \end{bmatrix} u \\ y = [c_n \quad c_{n-1} \quad \dots \quad c_2 \quad c_1] x$$

Beispiel für Zusammenfügen von Jordanblöcken: 11-17

11.2 Zustandstransformation

Jede Darstellung einer ÜF kann in unendlich vielen Zustandsformen dargestellt werden; ändere Zustand:

$$A = T^{-1}FT, \quad B = T^{-1}G, \quad C = HT, \quad D = J$$

Überführung in Normalform: finde $T^{-1} = [t_1, t_2, t_3]$

- Reglungsnormalform: 11-20
- Beobachtungsnormalform: 11-25
- Modalform: 11-29

Steuerbarkeit falls gilt: $\det C \neq 0$

$$C = [G \quad FG \quad F^2G \quad \dots \quad F^{n-1}G]$$

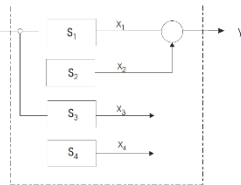
Beobachtbarkeit falls gilt: $\det O \neq 0$

$$O = \begin{bmatrix} H \\ HF \\ \vdots \\ HF^{n-1} \end{bmatrix}$$

Pol/Nullstellenkürzung in $g(s)$
 \iff
 Verlust der Steuerbarkeit oder Beobachtbarkeit im ZSR

11.4 Zerlegung nach Kalman

Kann durch entsprechende Zustandstransformation jedes System in vier Untersysteme zerlegen, wobei nach ihrer Steuerbarkeit/Beobachtbarkeit eingeteilt wird:

$$\begin{matrix} C, O: \\ NC, O: \\ C, NO: \\ NC, NO: \end{matrix} \begin{bmatrix} \dot{x}_1 \\ \dot{x}_2 \\ \dot{x}_3 \\ \dot{x}_4 \end{bmatrix} = \begin{bmatrix} F_{11} & F_{12} & 0 & 0 \\ 0 & F_{22} & 0 & 0 \\ F_{31} & F_{32} & F_{33} & F_{34} \\ 0 & F_{42} & 0 & F_{44} \end{bmatrix} \begin{bmatrix} x_1 \\ x_2 \\ x_3 \\ x_4 \end{bmatrix} + \begin{bmatrix} G_1 \\ 0 \\ G_3 \\ 0 \end{bmatrix} u$$


$$y = [H_1 \quad H_2 \quad 0 \quad 0] \begin{bmatrix} x_1 \\ x_2 \\ x_3 \\ x_4 \end{bmatrix}$$

11.5 Detektier- und Stabilisierbarkeit

detektierbar: alle Eigenwerte d. Matrizen F_{33} und F_{44} besitzen einen negativen Realwert

stabilisierbar: alle Eigenwerte d. Matrizen F_{22} und F_{44} besitzen einen negativen Realteil

11.6 Eigenwerte und Pole

Alle Pole der ÜF $G(s)$ sind Eigenwerte der Matrix F

Achtung: gilt wegen möglichen Kürzungen nicht umgekehrt

11.7 Nullstellen in Zustandsraumdarstellung

Annahme: $G(s)$ hat Nullstelle $z \rightarrow g(z) = 0$

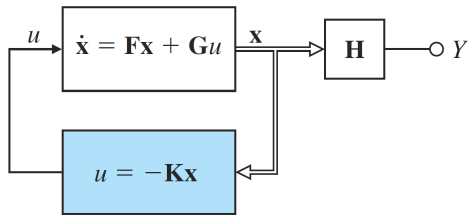
$$\Rightarrow u(t) = u_0 e^{zt} : y(t) = 0, t > 0$$

Nullstellen der Übertragungsfunktion

$$\det \begin{bmatrix} zI - F & -G \\ H & J \end{bmatrix} = 0$$

12. Regelung im Zustandsraum

12.1 Zustandsrückführung



$$u = -Kx \rightarrow \dot{x} = Fx + Gu = (F - GK)x$$

Charakteristische Gleichung: wähle K , s.d. passende Pole

$$\det(sI - (F - GK)) = 0$$

Wahl von K , falls in Regelungsnormalform: 12-6

12.2 Referenzsystem

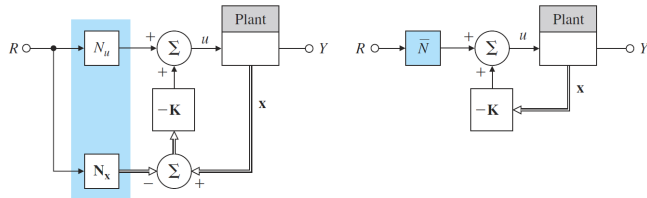
Berücksichtigung d. Sollwerts r bei Zustandsrückführung
Nachteil: stark modellabhängig (Verbesserung: Integral)

$$u = u_s - K(x - x_s) \rightarrow u = u_s \text{ wenn } x = x_s$$

$$\text{Ansatz: } x_s = N_x r, \quad u_s = N_u r, \quad y_s = r$$

$$\Rightarrow u = -Kx + \underbrace{(N_u + KN_x)}_{\tilde{N}} r$$

$$\begin{bmatrix} N_x \\ N_u \end{bmatrix} = \begin{bmatrix} F & G \end{bmatrix}^{-1} \begin{bmatrix} 0 \\ 1 \end{bmatrix}$$



12.3 Integralregelung

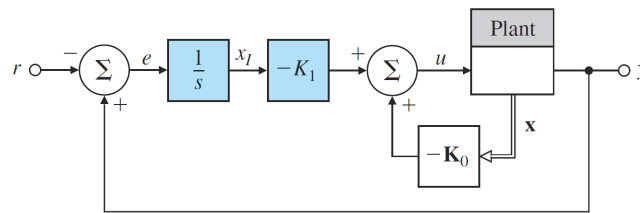
Zusätzlicher Zustand und Integralanteil:

$$x_I = - \int_0^t e \, dt, \quad \dot{x} = Hx - r = -e$$

$$\begin{bmatrix} \dot{x}_I \\ \dot{x} \end{bmatrix} = \begin{bmatrix} 0 & H \\ 0 & F \end{bmatrix} \begin{bmatrix} x_I \\ x \end{bmatrix} + \begin{bmatrix} 0 \\ G \end{bmatrix} u - \begin{bmatrix} 1 \\ 0 \end{bmatrix} r$$

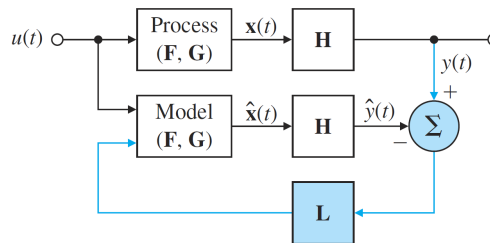
$$u = -[K_1 \quad K_0] \begin{bmatrix} x_I \\ x \end{bmatrix}$$

\Rightarrow Mit charakteristischer Gleichung u. Polen K 's finden



12.4 Zustandsschätzung

Zustandsrückführung schlecht möglich, weil Zustand oft nicht messbar; brauchen eine Schätzung des Zustandes



$$\dot{\hat{x}} = F\hat{x} + Gu + L(y - H\hat{x}) \rightarrow \dot{\epsilon} = (F - LH)\epsilon$$

Bestimmung von $L = [l_1 \quad l_2]^T$

$$\det[sI - (F - LH)] = \text{charakt. Polynom}$$

12.5 Dualität

Reglung: Wähle K , s.d. $F - GK$ „gut“

Beobachter: Wähle L , s.d. $F - LH$ „gut“

Die Probleme Zustandsregelung/Beobachterentwurf sind mathematisch äquivalent oder dual

Regelung	Beobachter
F	F^T
G	H^T
K	L^T

12.6 Zustandsrückführung mit Beobachter

Benütze geschätzten Zustand in Zustandsregelung

$$\dot{\hat{x}} = F\hat{x} - GK\hat{x} = F\hat{x} - GK(x - \epsilon)$$

Dynamik des Gesamtsystems getrennt entwickelt:

$$\det(sI - (F - GK)) * \det(sI - (F - LH)) = \alpha_c(s)\alpha_e(s) = 0$$

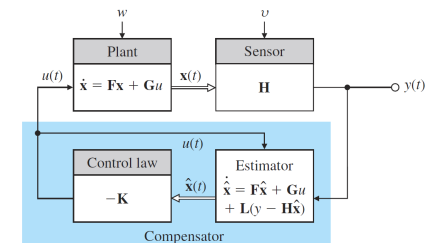
Separationsprinzip: Menge der Pole des Gesamtsystems

= Pole d. Zustandsreglers + Pole des Beobachters

Dynamischer Kompensator: Zustandsregler + Beobachter

$$\dot{\hat{x}} = (F - LH)\hat{x} + Gu + Ly, \quad u = -K\hat{x}$$

$$D_c(s) = \frac{U(s)}{Y(s)} = -K(sI - F + GK + LH)^{-1}L$$



13. Optimale Regelung: LQR

Quadratische Kostenfunktion als Mass für Güte d. Reglers:

$$J = x^T(t_1)P_{t_1}x(t_1) + \int_{t_0}^{t_1} \left[\underbrace{x^T(t)Q(t)x(t)}_{\text{Fehlerquadrat}} + \underbrace{u^T(t)R(t)u(t)}_{\text{Stellgr.quadrat}} \right] dt$$

Gewichtung des Endzustands: P_{t_1}
 Gewichtung der Zustandstrajektorie: $Q(t)$
 Gewichtung des Regleraufwands: $R(t)$

$$P_{t_1} = P_{t_1}^T \geq 0, \quad Q(t) = Q(t)^T \geq 0, \quad R(t) = R(t)^T > 0$$

$Q(t) \rightarrow \infty$: „teure“ Zustandsabw., schnell zum Ursprung
 $R(t) \rightarrow \infty$: „teure“ Regelaufw., so wenig tun wie möglich

Lösung des Problems: lineare Zustandsrückführung

$$u^*(t) = -K(t)x(t)$$

$$K(t) = R^{-1}(t)G^T P(t)$$

Eigenschaft der Matrix $P(t)$: 13-12

Matrix-Riccati-DGL: erfüllt $P(t_1) = P_{t_1}$ und

$$\dot{P}(t) = -F^T P(t) - P(t)F + P(t)G R(t)^{-1} G^T P(t) - Q(t)$$

13.3 Der zeitinvariante LQ-Regulator

Da $P(t)$ länger konstant ist, ist die Änderung gleich Null

Algebraische Matrix-Riccati-Gleichung (ARE)

$$\dot{P}(t) = 0 = -F^T P - P F + P G R^{-1} G^T P - Q$$

Opt. Regeleingang: $u^*(t) = -K x(t) = -R^{-1} G^T P x(t)$

Minimale Kostenfunktion: $J^* = x_0^T P x_0$

Stabilität garantiert, wenn $\left[Q^{\frac{1}{2}}, F \right]$ detektierbar ist

PM: stabil für $g(s) = e^{-j\phi}$, $-60^\circ < \phi < 60^\circ$

AM: stabil für $g(s) = k$, $\frac{1}{2} < k < \infty$

14. Optimale Schätzung: Kalman

Stochastisches Modell der Regelstrecke:

$$\dot{x}(t) = Fx(t) + Gu(t) + w(t), \quad y(t) = Hx(t) + v(t)$$

$w(t)$: Prozessrauschen mit Kovarianz $Q_e \delta(t - \tau)$
 $v(t)$: Messrauschen mit Kovarianz $R_e \delta(t - \tau)$

Suche *optimale Rückführungsmatrix* $L^*(t)$, sodass der mittlere quadratische Schätzfehler minimal ist

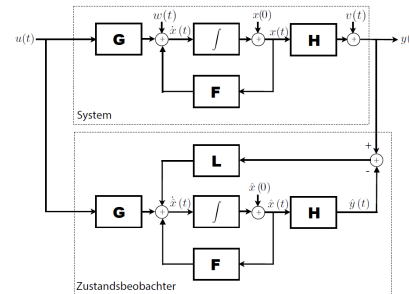
$$L^*(t) = P(t) H^T R_e^{-1}$$

Dabei erfüllt $P(t)$ erneut die Matrix-Riccardi-DGL:

$$\dot{P}(t) = F P(t) + P(t) F^T + Q_e - P(t) H^T R_e^{-1} H P(t)$$

$$P(0) = P_0 = E[\epsilon(0) \epsilon^T(0)], \quad \epsilon = x - \hat{x}$$

Übliche Beobachterstruktur



14.3 Zeitinvariantes Kalman Filter

Für (H, F) detektierbar und $\left(F, Q_e^{\frac{1}{2}} \right)$ stabilisierbar:

$$0 = F P_\infty + P_\infty F^T + Q_e - P_\infty H^T R_e^{-1} H P_\infty$$

$$L_\infty^* = P_\infty H^T R_e^{-1}$$

- Optimalität: minimale Kovarianz des Schätzfehlers
 - Erwartungstreue Schätzung ($E[\hat{x}] = E[x]$)

Kovarianzfunktionen Q_e, R_e oft als Tuningparamter

15. Verschiedenes

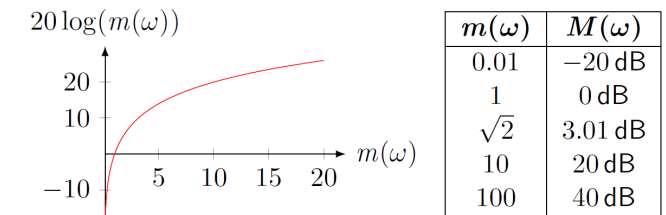
$$\begin{pmatrix} a & b \\ c & d \end{pmatrix}^{-1} = \frac{1}{ad - bc} \begin{pmatrix} d & -b \\ -c & a \end{pmatrix}$$

Positiv definite Matrix

$$A \geq 0 \Leftrightarrow x^T A x \geq 0 \quad \forall x$$

Logarithmische Darstellung im Bode-Plot

$$M(\omega) = 20 \log_{10} m(\omega) \quad [\text{dB}]$$



Für LQR und Kalman: symmetrische Annahme

$$P(t) = \begin{bmatrix} p_1(t) & p_2(t) \\ p_2(t) & p_3(t) \end{bmatrix}, \quad p_{ii} \geq 0, i = 1 \dots n$$

Kanonische Form/Normalform

Für kontrollierbare (con) und beobachtbare (obs) NF gilt:

$$F_{obs} = F_{con}^T, \quad G_{obs} = H_{con}^T$$

$$H_{obs} = G_{con}^T, \quad J_{obs} = J_{con}$$

Controllability-Matrix für Regulationsnormalform: $C = I_n$

Observability - Matrix f. Beobachtungsnormalform: $O = I_n$

16. Tables

$$i = \sqrt{-1} = e^{i\frac{\pi}{2}}$$

$$\tan' x = 1 + \tan^2 x$$

$$\sin^2 x + \cos^2 x = 1$$

$$\cosh^2 x - \sinh^2 x = 1$$

$$\cos(z) = \cos(x) \cosh(y) - i \sin(x) \sinh(y)$$

$$\sin(z) = \sin(x) \cosh(y) + i \cos(x) \sinh(y)$$

Grad	Rad	$\sin \varphi$	$\cos \varphi$	$\tan \varphi$
0°	0	0	1	0
30°	$\frac{1}{6}\pi$	$\frac{1}{2}$	$\frac{\sqrt{3}}{2}$	$\frac{\sqrt{3}}{3}$
45°	$\frac{1}{4}\pi$	$\frac{\sqrt{2}}{2}$	$\frac{\sqrt{2}}{2}$	1
60°	$\frac{1}{3}\pi$	$\frac{\sqrt{3}}{2}$	$\frac{1}{2}$	$\sqrt{3}$
90°	$\frac{1}{2}\pi$	1	0	
120°	$\frac{2}{3}\pi$	$\frac{\sqrt{3}}{2}$	$-\frac{1}{2}$	$-\sqrt{3}$
135°	$\frac{3}{4}\pi$	$\frac{\sqrt{2}}{2}$	$-\frac{\sqrt{2}}{2}$	-1
150°	$\frac{5}{6}\pi$	$\frac{1}{2}$	$-\frac{\sqrt{3}}{2}$	$-\frac{\sqrt{3}}{3}$
180°	π	0	-1	0

Additionstheoreme

$$\sin(\alpha \pm \beta) = \sin \alpha \cos \beta \pm \cos \alpha \sin \beta$$

$$\cos(\alpha \pm \beta) = \cos \alpha \cos \beta \mp \sin \alpha \sin \beta$$

$$\tan(\alpha \pm \beta) = \frac{\tan \alpha \pm \tan \beta}{1 \mp \tan \alpha \tan \beta}$$

Doppelter und halber Winkel

$$\sin 2\varphi = 2 \sin \varphi \cos \varphi \quad \sin^2 \frac{\varphi}{2} = \frac{1}{2}(1 - \cos \varphi)$$

$$\cos 2\varphi = \cos^2 \varphi - \sin^2 \varphi \quad \cos^2 \frac{\varphi}{2} = \frac{1}{2}(1 + \cos \varphi)$$

$$\tan 2\varphi = \frac{2 \tan \varphi}{1 - \tan^2 \varphi} \quad \tan^2 \frac{\varphi}{2} = \frac{1 - \cos \varphi}{1 + \cos \varphi}$$

Umformung einer Summe in ein Produkt

$$\sin \alpha + \sin \beta = 2 \sin \frac{\alpha + \beta}{2} \cos \frac{\alpha - \beta}{2}$$

$$\sin \alpha - \sin \beta = 2 \cos \frac{\alpha + \beta}{2} \sin \frac{\alpha - \beta}{2}$$

$$\cos \alpha + \cos \beta = 2 \cos \frac{\alpha + \beta}{2} \cos \frac{\alpha - \beta}{2}$$

$$\cos \alpha - \cos \beta = -2 \sin \frac{\alpha + \beta}{2} \sin \frac{\alpha - \beta}{2}$$

Umformung eines Produkts in eine Summe

$$2 \sin \alpha \sin \beta = \cos(\alpha - \beta) - \cos(\alpha + \beta)$$

$$2 \cos \alpha \cos \beta = \cos(\alpha - \beta) + \cos(\alpha + \beta)$$

$$2 \sin \alpha \cos \beta = \sin(\alpha - \beta) + \sin(\alpha + \beta)$$

Reihenentwicklungen

$$e^x = 1 + x + \dots = \sum_{k=0}^{\infty} \frac{x^k}{k!}$$

$$\log(1+x) = x - \frac{x^2}{2} + \dots = \sum_{k=1}^{\infty} (-1)^{k-1} \frac{x^k}{k}$$

$$(1+x)^n = 1 + \binom{n}{1}x + \dots = \sum_{k=0}^{\infty} \binom{n}{k} x^k$$

$$\sin x = x - \frac{x^3}{3!} + \dots = \sum_{k=0}^{\infty} (-1)^k \frac{x^{2k+1}}{(2k+1)!}$$

$$\cos x = 1 - \frac{x^2}{2!} + \dots = \sum_{k=0}^{\infty} (-1)^k \frac{x^{2k}}{(2k)!}$$

$$\arctan x = x - \frac{x^3}{3} + \dots = \sum_{k=0}^{\infty} (-1)^k \frac{x^{2k+1}}{2k+1}$$

$$\sinh x = x + \frac{x^3}{3!} + \dots = \sum_{k=0}^{\infty} \frac{x^{2k+1}}{(2k+1)!}$$

$$\cosh x = 1 + \frac{x^2}{2!} + \dots = \sum_{k=0}^{\infty} \frac{x^{2k}}{(2k)!}$$

$$\operatorname{artanh} x = x + \frac{x^3}{3} + \dots = \sum_{k=0}^{\infty} \frac{x^{2k+1}}{2k+1}$$

Summe der ersten n-Zahlen

$$\sum_{k=1}^n k = 1 + 2 + \dots + n = \frac{n(n+1)}{2}$$

Geometrische Reihe

$$\sum_{k=0}^n x^k = 1 + x + \dots + x^n = \frac{1 - x^{n+1}}{1 - x}$$

Fourier-Korrespondenzen

$f(t)$	$\hat{f}(\omega)$
e^{-at^2}	$\sqrt{\frac{\pi}{a}} e^{-\frac{\omega^2}{4a}}$
$e^{-a t }$	$\frac{2a}{a^2 + \omega^2}$

Eigenschaften der Fourier-Transformation

Eigenschaft	$f(t)$	$\hat{f}(\omega)$
Linearität	$\lambda f(t) + \mu g(t)$	$\lambda \hat{f}(\omega) + \mu \hat{g}(\omega)$
Ähnlichkeit	$f(at) \quad a > 0$	$\frac{1}{ a } \hat{f}\left(\frac{\omega}{a}\right)$
Verschiebung	$f(t - a)$	$e^{-ai\omega} \hat{f}(\omega)$
	$e^{ait} f(t)$	$\hat{f}(\omega - a)$
Ableitung	$f^{(n)}(t)$	$(i\omega)^n \hat{f}(\omega)$
	$t^n f(t)$	$i^n \hat{f}^{(n)}(\omega)$
Faltung	$f(t) * g(t)$	$\hat{f}(\omega) \cdot \hat{g}(\omega)$

Partialbruchzerlegung (PBZ)

Reelle Nullstellen n-ter Ordnung:

$$\frac{A_1}{(x - a_k)} + \frac{A_2}{(x - a_k)^2} + \dots + \frac{A_n}{(x - a_k)^n}$$

Paar komplexer Nullstellen n-ter Ordnung:

$$\frac{B_1 x + C_1}{(x - a_k)(x - \overline{a_k})} + \dots + \frac{B_n x + C_n}{[(x - a_k)(x - \overline{a_k})]^n} +$$

$$(x - a_k)(x - \overline{a_k}) = (x - \operatorname{Re})^2 + \operatorname{Im}^2$$

Laplace- Korrespondenz

$f(t)$	$F(s)$	$f(t)$	$F(s)$
$\sigma(t)$	1	$H(t - a)$	$\frac{1}{s} e^{-as}$
1	$\frac{1}{s}$	e^{at}	$\frac{1}{s - a}$
t	$\frac{1}{s^2}$	te^{at}	$\frac{1}{(s - a)^2}$
t^n	$\frac{n!}{s^{n+1}}$	$t^n e^{at}$	$\frac{n!}{(s - a)^{n+1}}$
$\sin(at)$	$\frac{a}{s^2 + a^2}$	$\sinh(at)$	$\frac{a}{s^2 - a^2}$
$\cos(at)$	$\frac{s}{s^2 + a^2}$	$\cosh(at)$	$\frac{s}{s^2 - a^2}$

Eigenschaften der Laplace-Transformation

Eigenschaft	$f(t)$	$F(s)$
Linearität	$\lambda f(t) + \mu g(t)$	$\lambda F(s) + \mu G(s)$
Ähnlichkeit	$f(at) \quad a > 0$	$\frac{1}{a} F\left(\frac{s}{a}\right)$
Verschiebung im Zeitbereich	$f(t - t_0)$	$e^{-st_0} F(s)$
Verschiebung im Bildbereich	$e^{-at} f(t)$	$F(s + a)$
Ableitung im Zeitbereich	$f'(t)$	$sF(s) - f(0)$
	$f''(t)$	$s^2 F(s) - sf(0) - f'(0)$
	$f^{(n)}(t)$	$s^n F(s) - \sum_{k=0}^{n-1} f^{(k)}(0) s^{n-k-1}$
Ableitung im Bildbereich	$-tf(t)$	$F'(s)$
	$t^2 f(t)$	$F''(s)$
	$(-t)^n f(t)$	$F^{(n)}(s)$
Integration im Zeitbereich	$\int_0^t f(u) du$	$\frac{1}{s} F(s)$
Integration im Bildbereich	$\frac{1}{t} f(t)$	$\int_s^\infty F(u) du$
Faltung	$f(t) * g(t)$	$F(s) \cdot G(s)$
Periodische Funktion	$f(t) = f(t + T)$	$\frac{1}{1 - e^{-sT}} \int_0^T f(t) e^{-st} dt$

Ableitungen

Potenz- und Exponentialfunktionen			Trigonometrische Funktionen		Hyperbolische Funktionen	
$f(x)$	$f'(x)$	Bedingung	$f(x)$	$f'(x)$	$f(x)$	$f'(x)$
x^n	nx^{n-1}	$n \in \mathbb{Z}_{\geq 0}$	$\sin x$	$\cos x$	$\sinh x$	$\cosh x$
x^n	nx^{n-1}	$n \in \mathbb{Z}_{<0}, x \neq 0$	$\cos x$	$-\sin x$	$\cosh x$	$\sinh x$
x^a	ax^{a-1}	$a \in \mathbb{R}, x > 0$	$\tan x$	$\frac{1}{\cos^2 x}$	$\tanh x$	$\frac{1}{\cosh^2 x}$
$\log x$	$\frac{1}{x}$	$x > 0$	$\arcsin x$	$\frac{1}{\sqrt{1-x^2}}$	$\operatorname{arsinh} x$	$\frac{1}{\sqrt{x^2+1}}$
e^x	e^x		$\arccos x$	$-\frac{1}{\sqrt{1-x^2}}$	$\operatorname{arcosh} x$	$\frac{1}{\sqrt{x^2-1}}$
a^x	$a^x \cdot \log a$	$a > 0$	$\arctan x$	$\frac{1}{1+x^2}$	$\operatorname{artanh} x$	$\frac{1}{1-x^2}$

Stammfunktionen

$f(x)$	$F(x)$	Bedingung	$f(x)$	$F(x)$	$f(x)$	$F(x)$
x^n	$\frac{1}{n+1}x^{n+1}$	$n \in \mathbb{Z}_{\geq 0}$	$\frac{1}{x}$	$\log x $	$\sin(\omega t) \sin(\omega t)$	$\frac{t}{2} - \frac{\sin(2\omega t)}{4\omega}$
x^n	$\frac{1}{n+1}x^{n+1}$	$n \in \mathbb{Z}_{\leq -2}, x \neq 0$	$\tan x$	$-\log \cos x $	$\sin(\omega t) \cos(\omega t)$	$-\frac{\cos(2\omega t)}{4\omega}$
x^a	$\frac{1}{a+1}x^{a+1}$	$a \in \mathbb{R}, a \neq -1, x > 0$	$\tanh x$	$\log(\cosh x)$	$\sin(\omega t) \sin(n\omega t)$	$\frac{n \cos(\omega t) \sin(n\omega t) - \sin(\omega t) \cos(n\omega t)}{\omega(n^2-1)}$
$\log x$	$x \log x - x$	$x > 0$	$\sin^2 x$	$\frac{1}{2}(x - \sin x \cos x)$	$\sin(\omega t) \cos(n\omega t)$	$\frac{n \sin(\omega t) \sin(n\omega t) + \cos(\omega t) \cos(n\omega t)}{\omega(n^2-1)}$
e^{ax}	$\frac{1}{a}e^{ax}$	$a \neq 0$	$\cos^2 x$	$\frac{1}{2}(x + \sin x \cos x)$	$\cos(\omega t) \sin(n\omega t)$	$\frac{\sin(\omega t) \sin(n\omega t) + n \cos(\omega t) \cos(n\omega t)}{\omega(1-n^2)}$
a^x	$\frac{a^x}{\log a}$	$a > 0, a \neq 1$	$\tan^2 x$	$\tan x - x$	$\cos(\omega t) \cos(n\omega t)$	$\frac{\sin(\omega t) \cos(n\omega t) + n \cos(\omega t) \sin(n\omega t)}{\omega(1-n^2)}$

Standard-Substitutionen

Integral	Substitution	Ableitung	Bemerkung
$\int f(x, x^2 + 1) dx$	$x = \tan t$	$dx = \tan^2 t + 1 dt$	$t \in \bigcup_{k \in \mathbb{Z}} (k\pi - \frac{\pi}{2}, k\pi + \frac{\pi}{2})$
$\int f(x, \sqrt{ax+b}) dx$	$x = \frac{t^2-b}{a}$	$dx = \frac{2}{a}t dt$	$t \geq 0$
$\int f(x, \sqrt{ax^2+bx+c}) dx$	$x + \frac{b}{2a} = t$	$dx = dt$	$t \in \mathbb{R}$, quadratische Ergänzung
$\int f(x, \sqrt{a^2-x^2}) dx$	$x = a \sin t$	$dx = a \cos t dt$	$-\frac{\pi}{2} < t < \frac{\pi}{2}, 1 - \sin^2 x = \cos^2 x$
$\int f(x, \sqrt{a^2+x^2}) dx$	$x = a \sinh t$	$dx = a \cosh t dt$	$t \in \mathbb{R}, 1 + \sinh^2 x = \cosh^2 x$
$\int f(x, \sqrt{x^2-a^2}) dx$	$x = a \cosh t$	$dx = a \sinh t dt$	$t \geq 0, \cosh^2 x - 1 = \sinh^2 x$
$\int f(e^x, \sinh x, \cosh x) dx$	$e^x = t$	$dx = \frac{1}{t} dt$	$t > 0, \sinh x = \frac{t^2-1}{2t}, \cosh x = \frac{t^2+1}{2t}$
$\int f(\sin x, \cos x) dx$	$\tan \frac{x}{2} = t$	$dx = \frac{2}{1+t^2} dt$	$-\frac{\pi}{2} < t < \frac{\pi}{2}, \sin x = \frac{2t}{1+t^2}, \cos x = \frac{1-t^2}{1+t^2}$